

# 촉매 CVD법을 이용한 탄소나노튜브의 합성 및 특성에 관한 연구

윤형석, 류호진, 조태환\*, 장호정\*\*, Fumio Saito\*\*\*

한국화학연구소 화학소재연구부

단국대학교 공업화학과\*, 전자공학과\*\*

동북대학교(일본) 소재공학연구소\*\*\*

## Study on the Preparation and Characteristics of Carbon Nanotubes using Catalytic CVD

Hyoung Seuk Youn, Hojin Ryu,

Tae-hwan Cho\*, Ho Jung Chang\*\*, Fumio Saito\*\*\*

Advanced Materials Division Korea Research Institute of Chemical Technology,

\*Dept. of Industrial Chemistry Dankook University,

\*\*Dept. of Electronics Engineering Dankook University,

\*\*\*Institute for Advanced Materials Processing Tohoku University, Japan

### 1. 서 론

1991년, Iijima 박사가 전기 방전법을 사용하여 음극선상에 형성시킨 탄소덩어리를 TEM으로 분석하는 과정에서 가늘고 긴 대롱 모양의 탄소나노튜브를 처음으로 발견하였다.[1] 탄소나노튜브가 발견된 이후에, 그 독특한 특성 때문에 응용분야에 대한 많은 연구가 있었다. 탄소나노튜브는 그 구조적 특성으로 인해 field emitter, 반도체 디바이스, electrochemical capacitor 등에 다양한 응용이 가능하며, 특히 낮은 전압하에서도 높은 전류를 방출하기 때문에 FEA(field emitter array) 소자로 많은 관심을 끌고 있다.[2-6] 그러나, 탄소나노튜브를 FED의 emitter로 사용하기 위해서는 많은 문제점을 해결해야 한다. 그 중에서도 탄소나노튜브의 길이와 직경의 조절, 그리고 수직 배향하는 것이 필요하다.

1998년에 미국 뉴욕주립대의 Ren 교수가 PE-HF-CVD(plasma enhanced hot filament chemical vapor deposition)를 이용하여 666°C 이하의 온도에서 유리기판 위에 수직 배향된 탄소나노튜브를 제작하였다.[7] 이것은 800~900°C의 성장 온도를 요하는 열 CVD 공정에 비하여 매우 낮은 온도에서 수직 성장을 시켰다는데 큰 의미가 있다. 본 연구에서도 플라즈마 CVD 방법을 이용하였지만, Ren 교수와는 hot filament를 쓰지 않은 것이 큰 차이점이다. 따라서, 본 연구는 600°C 이하의 저온에서 유리 기판위에 탄소나노튜브를 수직 배향시키는 것이다.

본 연구에서 성장된 탄소나노튜브는 최근 각광을 받고 있는 응용분야의 하나인 FED의 emitter로서 사용하기 위해 양질의 탄소나노튜브 성장시 촉매 CVD를 이용하여 유리 기판에 수직 배향의 최적의 조건에 대해 연구를 하였다.

## 2. 실험 방법

본 연구에서는 유도 결합형 플라즈마 화학기상증착법(Inductively Coupled Plasma Chemical Vapor Deposition : ICPCVD)을 이용하여 탄소나노튜브를 성장시켰다. Fig. 1에 본 연구에서 사용된 장비의 개략도를 나타내었다.

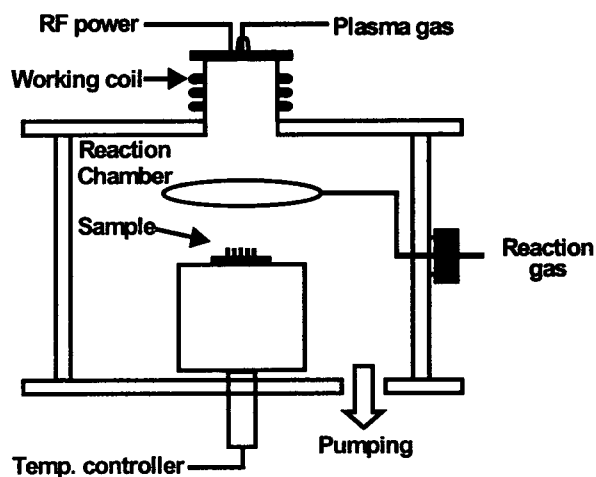


Fig. 1 A schematic diagram of an ICPCVD.

본 연구에서 사용된 장비의 특징은 rf 플라즈마를 사용하여 고밀도의 플라즈마를 발생시킬 수 있고, 플라즈마 가스와 반응 가스를 분리해서 반응기에 주입함으로써 반응가스의 밀도를 높여줄 수 있다는 점이 특징이다. 본 연구에서는 기판으로 강화 유리를 사용하였고, 탄소의 원료 가스로  $C_2H_2$  가스를 사용하였다. 플라즈마 발생 가스와 에칭 가스로는  $H_2$  또는  $NH_3$  가스를 사용하였다. 먼저, 1 inch 강화 유리를 준비하여 진한 황산과 과산화 수소를 1:1로 혼합한 용액에 세척을 하였다. 세척된 각 유리 기판에 rf sputter를 이용하여 Cr

과 Ni을 50~500Å의 두께로 증착시켰다. 준비된 시편을 반응기에 넣은 후, 진공을  $5 \times 10^{-6}$  torr 이하로 만들어 준다. 진공이  $5 \times 10^{-6}$  torr 이하가 되면 기판을 400°C~600°C의 온도로 가열한다. 그 후에,  $H_2$  가스 또는  $NH_3$  가스를 50~150 sccm으로 주입하여 각 기판을 에칭한다. 이때 rf generator를 작동시켜 150W의 power로 플라즈마를 발생시킨다. 에칭 시간은 0~7분으로 하였다. 에칭 후, 탄소나노튜브 성장을 위해  $H_2$  가스(또는  $NH_3$  가스)와  $C_2H_2$  가스를 20~100%의 비율로 반응기에 주입한다. 그리고, 150W의 플라즈마를 발생시켜서 60분 이내에서 탄소나노튜브를 성장시켰다.

본 연구에서 성장시킨 탄소나노튜브는 SEM(XL 30S FEG, Philips), TEM, Raman (Jobin Yvon T64000, France)을 이용하여 그 특성을 분석하였다.

## 3. 공정 온도에 따른 탄소나노튜브의 성장

본 연구에서 공정 온도에 따른 탄소나노튜브의 성장을 관찰하기 위하여 400°C와 600°C의 온도에서 실험을 하였다. 각 시편을 준비하여 반응기에 넣고, 진공을  $5 \times 10^{-6}$  torr로 맞춘다. 진공이  $5 \times 10^{-6}$  torr가 되면, 기판을 가열하여 온도를 400°C와 600°C로 유지하였다. 그 후에,  $H_2$  가스 또는  $NH_3$  가스를 50~150 sccm으로 주입하여 각 기판을 에칭한다. 이때, 150W의 power로 플라즈마를 발생시킨다. 에칭 시간은 3분에서 7분으로 하였다.

에칭을 한 후, 플라즈마 가스( $H_2$ ,  $NH_3$ )와 반응 가스( $C_2H_2$ )를 다양한 비율로 반응기에 주입한다. 그리고, 150W의 플라즈마를 발생시켜서 60분 이내로 탄소나노튜브를 성장시켰다. Fig. 2에 400°C와 600°C에서 성장시킨 탄소나노튜브의 SEM 관찰 결과를 나타내었다. Fig. 2를 통하여 본 연구에서 성장된 탄소나노튜브는 400°C의 경우 rod와 soot로 구성된 것을 알 수 있고, 600°C의 온도에서는 탄소나노튜브가 형성된다는 것을 알 수 있다. 성장

된 탄소나노튜브의 직경은 약 80~150 nm 정도인 것을 관찰할 수 있다. 따라서, ICPCVD법에 의하여 고품위 탄소나노튜브를 성장시키기 위해서는 600°C 정도의 공정 온도가 요구되었다.

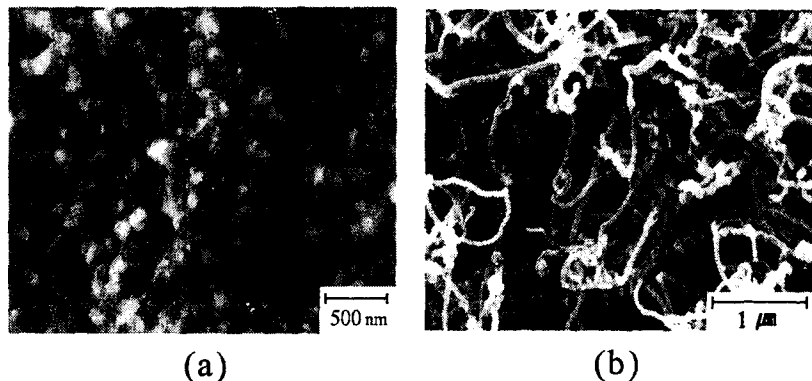


Fig. 2 Carbon nanotubes prepared by ICPCVD at (a) 400°C  
(b) 600°C.

### 3. 예칭 시간에 따른 탄소나노튜브 성장

각 시편을 준비하여 반응기에 넣고, 진공을  $5 \times 10^{-6}$  torr로 맞춘다. 그 후, 기판을 가열하여 온도를 600°C가 되게 맞춘다. 온도가 600°C가 되면, 예칭을 한 후, 플라즈마 가스와 반응가스를 다양한 비율로 반응기에 주입하여 탄소나노튜브를 성장시킨다. Fig. 3은 예칭한 후의 표면과 성장된 탄소나노튜브의 SEM 관찰 결과이다. Fig. 3의 (a)는 600°C의 온도에서 NH<sub>3</sub> 플라즈마를 사용하여 5분간 예칭 처리를 한 기판의 표면 사진이다. 예칭된 표면에서의 Ni 입자의 크기는 10~20 nm로 높은 밀도로 분포되어 있다. 그리고, 이 기판을 이용하여 예칭 가스로 NH<sub>3</sub> 와 반응 가스로 C<sub>2</sub>H<sub>2</sub>를 사용하여 30분간 성장시킨 탄소나노튜브의 수직 배향된 모습을 Fig. 3의 (b)에 나타내었다. 수직 배향된 탄소나노튜브의 SEM 사진은 60° 기울여서 관찰하였다. 성장된 탄소나노튜브의 평균 직경은 100~150 nm 정도이며, 길이는 약 3 μm 정도로 성장된 것을 관찰할 수 있다.

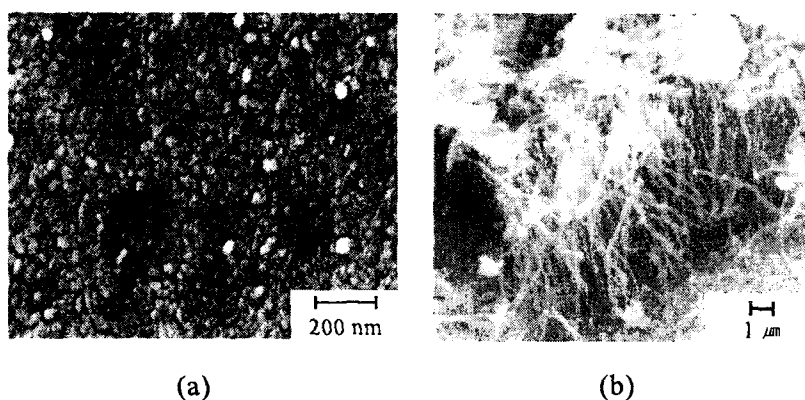


Fig. 3 SEM image of glass substrate.

(a) : NH<sub>3</sub> plasma etching,

(b) : Carbon nanotubes grown with (a).

본 연구에서 성장시킨 탄소나노튜브의 TEM 사진을 Fig. 4에 나타내었다. 이 사진에서 알 수 있듯이, 본 연구에서 성장시킨 탄소나노튜브는 multi-wall을 나타내고, 속이 비어있는 tube 형태로 성장이 되었음을 관찰할 수 있다. 이 사진의 결과로부터 탄소나노튜브는 외경이 약 90 nm이고, 내경은 약 40 nm를 나타내었다.

Fig. 5는 본 연구에서 성장시킨 탄소나노튜브의 Raman 분석 결과를 나타낸 것이다. Raman 분석 결과 탄소나노튜브의 peak인  $1587\text{ cm}^{-1}$ 에서 강한 peak가 나타났다. 이것으로 탄소나노튜브의 생성을 알 수 있었고, 성장된 탄소나노튜브의 결정성이 좋음을 알 수 있었다.[8]

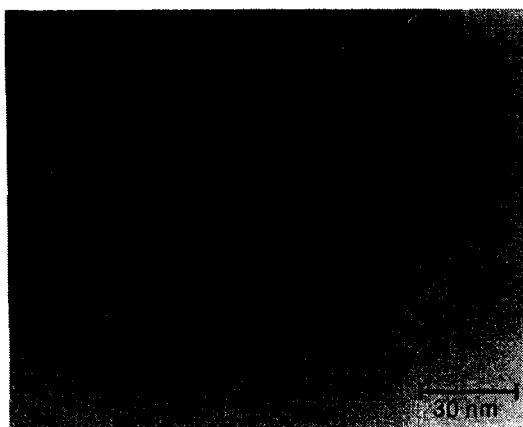


Fig. 4 TEM image of CNTs.

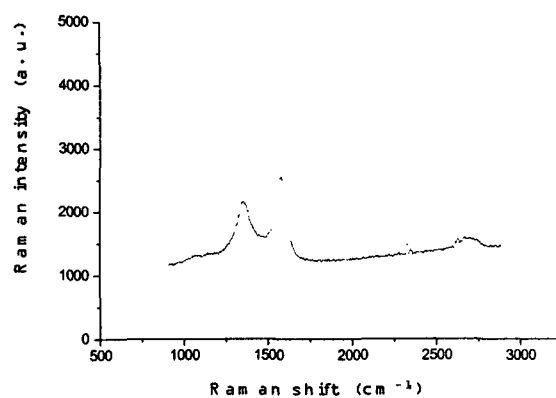


Fig. 5 Raman spectra of CNTs.

#### 4. 참고 문헌

1. S. Iijima, *Nature*, **354**, 56 (1991)
2. S. Uemura, T. Nagasako, J. Yotani, T. Shimojo, and Y. Saito, *SID'98 Digest*, 1052 (1998)
3. W. B. Choi, D. S. Chung, S. H. Park, and J. M. Kim, *SID'99 Digest*, 1135 (1999)
4. C. Niu, E. K. Sichel, R. Hoch, D. Moy, and H. Tennent, *Appl. Phys. Lett.*, **70**, 1480 (1997)
5. R. Saito, M. Fujita, G. Dresselhaus, and M. S. Dresselhaus, *Nature*, **381**, 678 (1996)
6. S. Fan, M. G. Chapline, N. R. Franklin, T. W. Tombler, A. M. Cassell, and H. Dai, *Science*, **283**, 512 (1999)
7. Z. F. Ren, Z. P. Huang, J. W. Xu, J. H. Wang, P. Bush, M. P. Siegal, and P. N. Provencio, *Science*, **282**, 1105 (1998)
8. W. Li, H. Zhang, C. Wang, Y. Zhang, L. Xu, K. Zhu, and S. Xie, *Appl. Phys. Lett.*, **70**, 20 (1997)